

相对论微观光学势的自洽计算*

朱萍 马中玉 顾英圻 卓益忠

(中国原子能科学研究院,北京)

摘 要

本文以 Walecka 模型及非线性 σ 模型自洽计算了 ^{16}O 、 ^{40}Ca 的相对论微观光学势。得到的标量势和矢量势符号相反,大小约为几百 MeV,与核子的质量可以相比拟。为了与非相对论光学势比较,给出了 Schrödinger 等价势。这个等价势在很大的能量范围 ($E = 200\text{MeV}$ 以下)内适用,相对论计算自然地得到较强的能量相关的自旋-轨道耦合势,与唯象分析一致。本文用自洽计算的实部势及最低级的虚部势计算了核子-核散射微分截面及极化率,得到与实验较好的符合。非线性 σ 模型给出合理的核的不可压缩系数,从而考虑了核的表面效应,改善了计算的光学势。

一、引 言

光学模型是分析核反应实验数据的最基本工具之一,光学势的微观计算为光学模型提供了一个理论依据。

非相对论的光学势微观计算是依据二核子相互作用势及多体的 Schrödinger 方程^[1,2]。由于核体系中核子的结合能比其质量要小得多,过去的研究认为,相对论效应是很小的,只需作为修正来考虑。然而,近年来越来越多的证据^[3,4]表明:核子之间存在着很大的相互抵消的 Lorentz 标量势与矢量势;核子的结合能是很大的标量势能及矢量势能的相互抵消的结果,对于通常的核体系,标量势和矢量势与核子的质量可以比拟。因此,即使对通常的核体系,也有必要研究相对论效应。最简单的相对论量子理论是 Walecka 模型^[5],核子通过交换 σ 介子与 ω 介子相互作用,采用平均场近似,将介子场算符以其基态期望值来代替。Walecka 模型给出的核物质的不可压缩系数太大,应用到有限核,计算得到每核子的结合能过小^[6]。为改进这个不足,A. Bouyssy 等^[7]引进了非线性 σ 模型,考虑到多体力效应,唯象地引入 σ 介子的非线性自相互作用,并以此模型研究了核物质及双满壳层核基态性质,得到了更满意的结果。

相对论唯象光学势在符合弹性散射截面的同时,很好地预言了有关极化可测量^[8,9]。在相对论唯象研究的成功鼓舞下,本文以 Walecka 模型与非线性 σ 模型自洽计算了双满

* 本工作得到中国科学自然科学基金资助。
本文 1987 年 3 月 9 日收到。

卷
试, 率, 量
场
)加
具有
流
能包
大
开
大
不
们
表

壳层核 ^{16}O 、 ^{40}Ca 的相对论微观光学势实部模型的参数通过符合饱和核物质性质, 同时考虑双满壳层核束缚态性质来确定. 为与非相对论光学势比较, 给出了这些核的 Schrödinger 等价中心势与自旋-轨道势. 并以这样自洽计算得到的实部势加最低级虚部势计算了核子-核弹性散射截面与极化角分布. 我们将在第二节中给出计算的理论框架与公式, 第三节中给出如何确定模型参数, 第四节是关于光学势和核子-核弹性散射截面与极化角分布的计算结果及讨论.

二、理论框架及计算公式

在 Walecka 模型下, 核子通过交换 σ 介子和 ω 介子相互作用, 在研究有限核时还必须考虑 ρ 介子与光子, 其有效 Lagrangian^[7] 为:

$$\begin{aligned} \mathcal{L} = & \bar{\Psi}(i\gamma_{\mu}\partial^{\mu} - M) + \frac{1}{2} \partial_{\mu}\sigma\partial^{\mu}\sigma - u(\sigma) - g_s\bar{\Psi}\phi\sigma \\ & - \frac{1}{4} F_{\mu\nu}F^{\mu\nu} + \frac{1}{2} m_{\nu}V_{\mu}V^{\mu} - g_{\nu}\bar{\Psi}\gamma_{\mu}\Psi V^{\mu} - \frac{1}{4} \mathbf{B}_{\mu\nu} \cdot \mathbf{B}^{\mu\nu} \\ & + \frac{1}{2} m_{\rho}^2 \mathbf{b}_{\mu} \cdot \mathbf{b}^{\mu} - \frac{1}{4} H_{\mu\nu}H^{\mu\nu} - \frac{1}{2} \bar{\Psi}\gamma_{\mu}\boldsymbol{\tau} \cdot \mathbf{b}^{\mu}\Psi \\ & - \frac{1}{2} e\bar{\Psi}\gamma_{\mu}(1 + \tau_3)\phi a_{\mu}. \end{aligned} \quad (1)$$

其中:

$$u(\sigma) = \frac{1}{2} m_{\sigma}^2 \sigma^2 + \frac{1}{3} b\sigma^3 + \frac{1}{4} c\sigma^4, \quad (2)$$

$$F_{\mu\nu} = \partial_{\mu}v_{\nu} - \partial_{\nu}v_{\mu}, \quad (3)$$

$$\mathbf{B}_{\mu\nu} = \partial_{\mu}\mathbf{b}_{\nu} - \partial_{\nu}\mathbf{b}_{\mu}, \quad (4)$$

$$H_{\mu\nu} = \partial_{\mu}a_{\nu} - \partial_{\nu}a_{\mu}. \quad (5)$$

ϕ 为核子场算符, a_{μ} 为电磁场算符, σ 、 v_{μ} 、 \mathbf{b}_{μ} 分别为 σ 、 ω 、 ρ 介子场算符, M 为核子质量, m_i 、 g_i 为相应的介子质量及介子与核子相互作用耦合常数, b 、 c 是 σ 介子的非线性自相互作用参数, 若 $b = 0$ 、 $c = 0$, 即为 Walecka 模型. 平均场近似下, σ 、 ω 、 ρ 介子及电磁场算符取为基态期望值, 分别是: $\langle\sigma\rangle = \sigma$ 、 $\langle v_{\mu}\rangle = \delta_{\mu 0}V_0$ 、 $\langle\mathbf{b}_{\mu}\rangle = \delta_{i3}\delta_{\mu 0}\mathbf{b}_0$ 、 $\langle a_{\mu}\rangle = \delta_{\mu 0}a_0$. 这些基态期望值、在核物质情况下是常数, 对于双满壳层的球形核是径向坐标的函数.

通过对场量的变分, 得到球形核中核子所满足的 Dirac 方程为:

$$\begin{aligned} & [-i\boldsymbol{\alpha} \cdot \boldsymbol{\nabla} + \gamma_0(M + g_s\sigma(r)) + g_{\nu}V_0(r) + \frac{1}{2}g_{\rho}\tau_3\mathbf{b}_0(r) \\ & + e(1 + \tau_3)a_0(r)]\phi_{\alpha} = E_{\alpha}\phi_{\alpha}. \end{aligned} \quad (6)$$

$E_{\alpha} = M + \varepsilon_{\alpha}$, ε_{α} 是核子的束缚能级, 介子场与电磁场的期望值所满足的方程为:

$$\frac{d^2\sigma(r)}{dr^2} + \frac{2}{r} \frac{d\sigma(r)}{dr} - \frac{\partial u}{\partial\sigma}(r) = g_s(\rho_i^{(p)}(r) + \rho_i^{(n)}(r)), \quad (7)$$

时
rö-
计
公
极

$$\frac{d^2 V_0(r)}{dr^2} + \frac{2}{r} \frac{dV_0(r)}{dr} - m_v^2 V_0(r) = -g_v(\rho_B^{(p)}(r) + \rho_B^{(n)}(r)), \quad (8)$$

$$\frac{d^2 b_0(r)}{dr^2} + \frac{2}{r} \frac{db_0(r)}{dr} - m_b^2 b_0(r) = -\frac{1}{2} g_\rho(\rho_B^{(p)} - \rho_B^{(n)}(r)), \quad (9)$$

$$\frac{d^2 a_0(r)}{dr^2} + \frac{2}{r} \frac{da_0(r)}{dr} = -e\rho_B^{(p)}(r). \quad (10)$$

其中:

$$\rho_i^{(j)} = \sum_a \Psi_a \phi_a, \quad (11a)$$

$$\rho_B^i = \sum_a \Psi_a \gamma_0 \phi_a, \quad (11b)$$

$i = p(n)$ 分别为质子和中子.

求和是对所有质子或中子的占据态. 将核子波函数写为:

$$\phi_a = \frac{1}{r} \begin{pmatrix} G_a(r) \\ -iF_a(r)\boldsymbol{\sigma} \cdot \mathbf{r} \end{pmatrix} Q_a, \quad (12)$$

G_a, F_a 是径向波函数, Q_a 是波函数的角度、自旋与同位旋部分, 则 ρ_i, ρ_B 为:

$$\rho_i^{(j)} = \sum_a \frac{1}{4\pi} \frac{G_a^2 - F_a^2}{r}, \quad (13a)$$

$$\rho_B^i = \sum_a \frac{1}{4\pi} \frac{G_a^2 + F_a^2}{r}, \quad (13b)$$

由等式(6)得 G_a, F_a 所满足的方程为:

$$\frac{dG_a}{dr} + k \frac{G_a}{r} = (E_a + M + U - V - V_c)F_a, \quad (14a)$$

$$\frac{dF_a}{dr} - k \frac{F_a}{r} = (M - E_a + U + V + V_c)G_a. \quad (14b)$$

其中:

$$U = g_s \sigma(r), \quad (15a)$$

$$V = g_v \sigma_0(r) + \frac{1}{2} \tau_3 g_\rho b_0(r), \quad (15b)$$

$$V_c = \frac{1}{2} (1 + \tau_3) e a_0(r). \quad (15c)$$

用叠代的方法自治求解等式(7—10)与(14)便能求得单粒子能级, 标量势, 矢量势 V, V_c 及其它性质. 在平均场近似下 U, V, V_c 与核子的状态无关. 因此, 对于散射态, 核子在相同的势场下运动, 入射核子所满足的 Dirac 方程亦为(6)式, 只是能量 ε_a 是入射核子的能量. 标量势 U 与矢量势 V 为平均场近似下的相对论光学势实部. 为了与非相对论光学势比较, 在 Dirac 方程中消去小分量, 得到入射能量为 ε 的核子波函数的大分量所满足的方程为:

$$\left[-\frac{\nabla^2}{2M} + u'_c(r, \varepsilon, \nabla) + U_{s0}(r, \varepsilon)\boldsymbol{\sigma} \cdot \mathbf{L} \right] \phi_{>}(r) = \frac{(M + \varepsilon - V_c)^2 - M^2}{2M} \phi_{>}(r) \quad (16)$$

必

)

)

)

)

)

这是 Schrödinger 类型的方程,但中心势 u'_c 中包含有算符 ∇ ,是非定域的,我们作以下变换:

$$\psi_{>}(\mathbf{r}) = S(r)^{\frac{1}{2}}\phi(\mathbf{r}) \quad (17a)$$

$$S(r) = \frac{2M + \varepsilon - V(r) + U(r)}{2M + \varepsilon} \quad (17b)$$

对于散射问题,我们所关心的是波函数在无穷远处的渐近行为,而 $S(r)$ 在 r 很大时趋向于1,故 $\psi_{>}(\mathbf{r})$ 与 $\phi(\mathbf{r})$ 是等价的,两者有一样的相移, $\phi(\mathbf{r})$ 满足 Schrödinger 等价方程:

$$\left[-\frac{\nabla^2}{2M} + U_c(r, \varepsilon) + U_{s0}(r, \varepsilon)\boldsymbol{\sigma} \cdot \mathbf{L} \right] \phi(\mathbf{r}) = \frac{(M + \varepsilon - V_c)^2 - M^2}{2M} \phi(\mathbf{r}) \quad (18)$$

这样我们得到入射能量为 ε 的核子的 Schrödinger 等价中心势与自旋-轨道势:

$$u_c(r, \varepsilon) = u(r) + V(r) + \frac{u^2(r) - V^2(r)}{2M} + \frac{\varepsilon}{M} V(r) + u_D(r, \varepsilon) \quad (19a)$$

$$u_{s0}(r, \varepsilon) = -\frac{1}{2M} \frac{1}{r} \frac{dS(r)}{dr} \quad (19b)$$

$$u_D(r, \varepsilon) = \frac{1}{2M} \left\{ -\frac{1}{2r^2 S(r)} \frac{d}{dr} \left(r^2 \frac{dS(r)}{dr} \right) + \frac{3}{4} \frac{1}{S(r)} \left(\frac{dS(r)}{dr} \right)^2 \right\} \quad (19c)$$

(19c) Darwin 项 u_D 是很小的,在以后的计算中不考虑.

三、参数的确定

计算中我们选取核子, ω 介子和 ρ 介子的质量为它们的实验值: $M = 938.9\text{MeV}$ 、 $m_\omega = 783\text{MeV}$ 、 $m_\rho = 770\text{MeV}$, 则方程(6—9)及(14)式的解依赖于介子耦合常数 g_ω 、 g_ρ 、 σ 介子的质量 m_σ 和非线性参数 b 、 c . 我们通过符合饱和核物质性质,同时考虑到有限核性质确定这些参数.

相对论平均场理论在核物质情况下变得极其简单. 对于 Walecka 模型, $b = 0$, $c = 0$. 在饱和核物质下,符合饱和性质 $p = 0$,并同时使得每核子的平均结合能为 15.75MeV ,便能确定 c_1^2 与 c_2^2 ($c_1^2 = M^2 g_1^2 / m_1^2$)^[5], c_2^2 由符合饱和核物质的对称能 $a_4 = 33\text{MeV}$ 来确定. 饱和核物质密度在实验得到的 $k_F = 1.36 \pm 6\text{fm}^{-1}$ 范围内选取,计算发现有限核中心密度分布依赖于 k_F 值,以较大的 k_F 对应的参数计算得到核密度分布在核中心区域过于集中. 为得到合适的有限核密度分布,我们取饱和核物质的 k_F 为 1.32fm^{-1} . 在核物质的计算中,结果只依赖于无量纲参数 c_1^2 、 c_2^2 ,而与介子质量无关,但对有限核则不然, σ 介子质量 m_σ 的选取影响核表面密度分布. 在取定 c_1^2 后,我们以符合 ^{40}Ca 的电荷分布之均方根半径来确定 m_σ . 我们以这样的方法得到的 Walecka 模型参数为表(1)中列出的参数 I,相应的饱和核物质的不可压缩系数 k 也被列出.

Walecka 模型给出的饱和核物质的不可压缩系数过大,非线性 σ 模型考虑到多体力作用,引入了非线性自相互作用,引进了参数 b 、 c ,从而通过调节参数可以得到合适的不可压缩系数. 但非线性 σ 模型引入了两个参数,故由饱和核物质的性质不能唯一确定所有的参数,参数的选择带有一定的任意性. 为得到合适的非线性 σ 模型参数,我们选取不同 c_1^2 及不可压缩系数得到多组参数,并以这些参数计算了轻核的束缚态性质,通过比较

发现,表(1)列出的参数 II 给出束缚态的性质最好. 以参数 I, II 计算得到的 ^{40}Ca 的基态能级在表(2)中列出. 以下我们以这两组参数计算光学势并讨论之.

四、光学势的计算结果与讨论

我们用四阶 Rung-Kutta 法解 Dirac 方程,用 Noumerov 方法解非线性 σ 方程. 对线性 σ, V_0, b_0, a_0 方程,利用静态的 Green 函数能求得解析表达式^[11],如 V_0 有,

$$V_0(r) = \int_0^\infty g_v(\rho_B^{(v)}(r) + \rho_B^{(n)}(r))G(r, r', m_v)r'^2 dr' \quad (20a)$$

$$G(r, r', m_v) = \frac{1}{m_v r' r} \sin(m_v r_<) \exp(-m_v r_>) \quad (20b)$$

$r_>$ 和 $r_<$ 分别表示取 r 与 r' 中的大者和小者,我们用 8 点高斯积分求(20a)式的积分. 选取能产生合理的基态能级的 Woods-Saxson 位作为初始势.

图(1)是计算得到的 ^{40}Ca 质子标量势 u 与矢量势 V . 自洽计算得到的势在核内有明显的起伏,体现了壳效应的存在. 标量势与矢量势的值约为几百 MeV, 但符号相反. 参数 I 计算给出的势更强, 这是由于大的介子-核子耦合常数所致. 图(2)是不同入射能量下的 ^{40}Ca 质子 Schrödinger 等价中心势. 中心势中包含着标量势与矢量势的相互抵消, 在入射能量较低时,中心势是吸引的,随入射能量的增加,中心势由吸引转变为排斥,并在 $E \geq 150\text{MeV}$ 时,出现“酒瓶底”形状,这是因为中心势中包含着标量势与矢量势的平方项所致. 中心势可改写成:

$$U_c(r, \varepsilon) = (U(r) + V(r)) \left(1 + \frac{U(r) - V(r)}{2M} \right)$$

量 $\left(1 + \frac{U(r) + V(r)}{2M} \right)$ 在中心区域是 0.6 左右,而在表面附近趋向于 1, 又由于 $U(r) - V(r) < 0, V(r) > 0, |U(r) - V(r)|$ 与 $V(r)$ 有类似的随 r 变化的趋势,故随入射能量

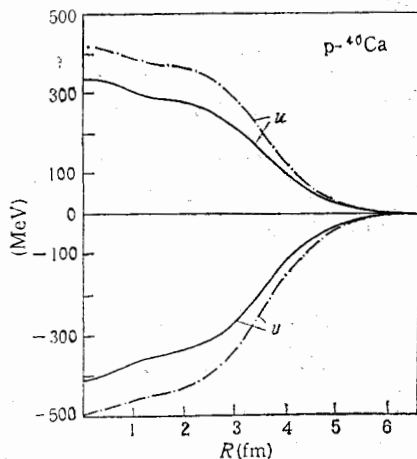


图 1 ^{40}Ca 质子标量势与矢量势
— · — 参数 I; — 参数 II

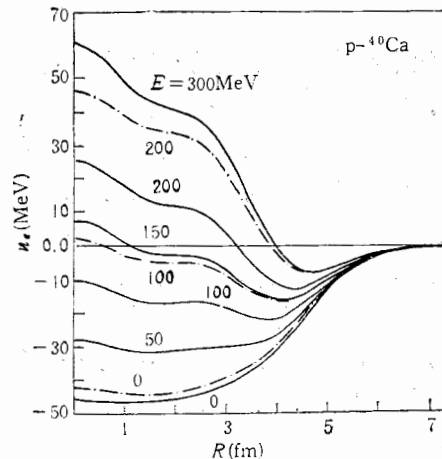


图 2 ^{40}Ca 质子 Schrödinger 等价中心势图注与图 1 同

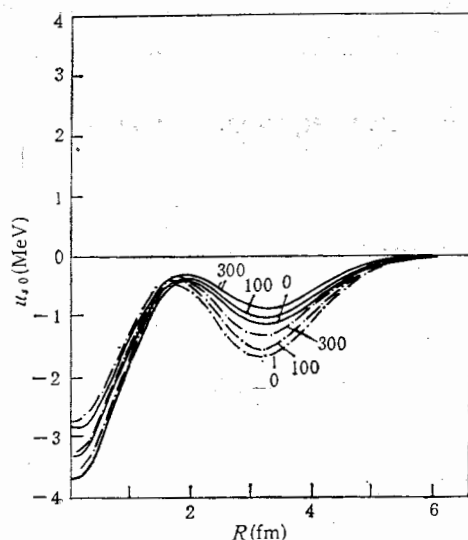


图3 ^{40}Ca 质子 Schrödinger 等价自旋-轨道势图注与图1同

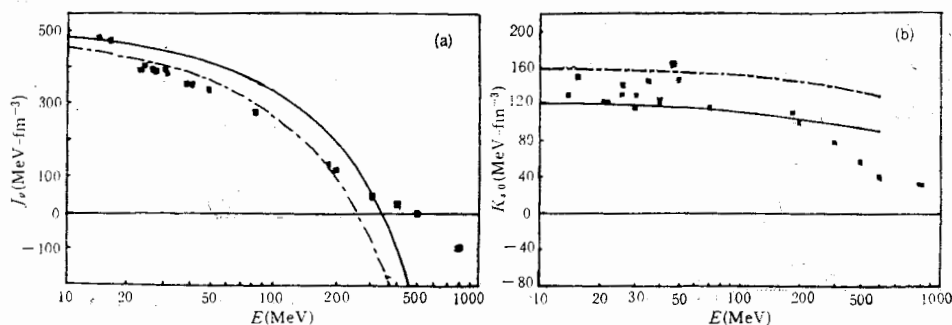


图4 ^{40}Ca 质子 Schrödinger 等价势体积分的计算值与唯象值^[8] 图注与图1同

a. 中心势 b. 自旋—轨道势

的增加中心势由吸引变为排斥时,中心区域比表面附近先通过零值,从而出现了“酒瓶底”形状。中心势的这些特征与符合弹性散射截面得到的唯象势一致^[8-10]。我们的计算给出的中心势对能量的依赖取决于矢量势(见等式(19)),以参数 I 计算得到较强的矢量势,使相应的中心势随能量的增加更快。图(4a)给出了以参数 I、II 计算得到的 ^{40}Ca 质子中心势的体积分与相应的唯象值,以参数 II 计算得到的中心势随能量上升比较缓慢,在能量较高时仍与唯象值符合得较好。

图(3)给出了计算得到的不同入射能量下的 ^{40}Ca 质子 Schrödinger 等价自旋-轨道势。自旋-轨道势依赖于 $U(r) - V(r)$ 的微分。而自洽计算的标量势与矢量势在核内有明显的起伏,故自旋-轨道势有较大的振荡。图(4b)给出了计算得到的 ^{40}Ca 质子自旋-轨道势的体积分与相应的唯象值。参数 I 对应的饱和核物质的不可压缩系数较大,大的不可压缩系数意味着标量数与矢量数随密度的变化剧烈。因此,参数 I 计算得到的标量势与矢量势在核边界有很大的斜度,相应的自旋-轨道势太强。

与非相对论的 Skyrme 力 Hartree-Fock 计算^[2]相比较, 我们的计算给出的 Schrödinger 等价中心势随能量增加上升要缓慢些, 与唯象势符合的能量范围更大。同时, 相对论计算自然地给出了强的自旋-轨道势, 并且是能量相关的, 这与唯象势一致, 非相对论的微观计算不能给出这种能量相关性。为进一步证实我们的计算的合理性, 同时对不同模型得到的势作进一步比较, 我们用以上自洽计算得到的实部势及

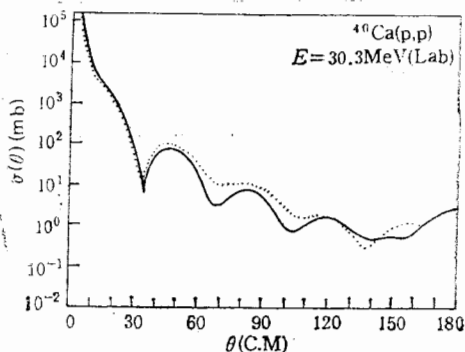


图 5 $p\text{-}^{40}\text{Ca}$ 弹性散射截面角分布计算值与实验值^[12]

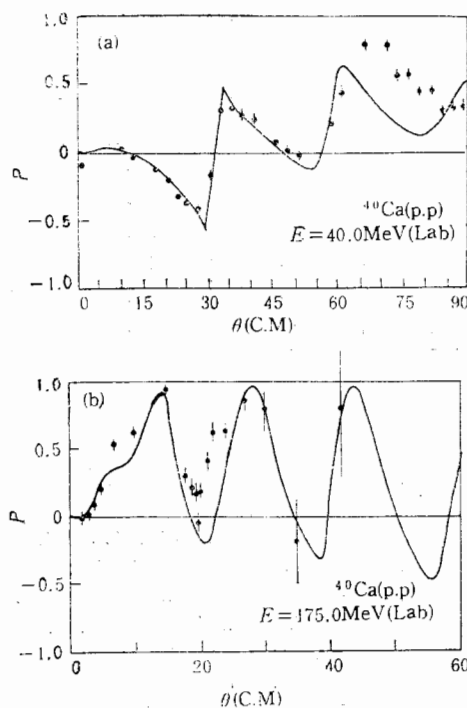


图 6 $p\text{-}^{40}\text{Ca}$ 弹性散射极化角分布计算值与实验值^[13,14]

由文献[11]给出的考虑到极化图贡献的最低级虚部势, 计算了核子-核弹性散射截面与极化角分布。图(5)给出了以参数 II 计算得到的人射量为 30.3 MeV 的 $p\text{-}^{40}\text{Ca}$ 弹性散射截面角分布及相应的实验值^[12]。参数 I、II 的理论计算与实验值都有较好的符合, 以参数 II 计算得到的结果与实验值符合得更好些, 因篇幅关系我们仅给出了参数 II 的结果。图(6)给出了用参数 II 计算得到的人射能分别为 40 MeV 与 175 MeV 的 $p\text{-}^{40}\text{Ca}$ 弹性散射极化角分布与相应的实验值^[13,14]。用参数 II 计算极化与实验符合比参数 I 有明显改善, 这是因为非线性 σ 模型得到合适的不可压缩系数, 从而考虑了核的表面效应, 改善了自旋-轨道耦合势。

总之, 在相对论框架下, 以低级的近似, 简单的计算得到比非相对论高级近似更好的结果是十分令人鼓舞的。Walecka 模型与非线性 σ 模型给出的中心势对能量的依赖是线性的, 这在能量较低时与唯象分析一致, 但在能量较高时, $E > 200\text{MeV}$, 上升太快。Clark 等人的唯象研究^[8]表明, 标量势与矢量势是能量相关的, 并随入射能量的增加而减小。平均场近似不能反映这个特点, 使中心势随入射能量增加上升太快。考虑更高级近

表 1 模型参数

	k_F	C_s^2	C_v^2	C_p^2	\bar{b}	\bar{c}	$m_s(\text{MeV})$	$K(\text{MeV})$
I	1.32	340.2	258.9	78.39	0	0	500	546
II	1.32	311.3	196.0	93.48	-3.176×10^{-3}	-3.986×10^{-3}	485	230

似,如 Hartree-Fock 近似,可以改进势的高能行为^[15].

表2 ^{40}Ca 单粒子能级理论值与实验值^[7]

	质 子			中 子		
	I	II	实验值	I	II	实验值
$1s_{1/2}$	46.2	42.1	50±11	54.4	50.4	50
$1p_{3/2}$	29.6	27.7	34±6	37.5	35.6	30
$1p_{1/2}$	24.2	24.4		32.2	32.2	27
$1d_{3/2}$	14.0	13.7	15.5	21.5	21.2	21.9
$2s_{1/2}$	7.5	9.2	10.9	14.8	16.6	18.2
$1d_{5/2}$	6.2	8.7	8.3	13.5	16.1	16.5

参 考 文 献

- [1] J. P. Jeukenne, A. Lejeune and C. Mahaux, *Phys. Rep.*, **C25**(1976), 83, *Phys. Rev.*, **C16**(1977), 80
 [2] 袁海骥等, 高能物理与核物理, **10**(1986), 335.
 [3] K. Erkelenz, *Phys. Rep.*, **C13**(1974), 191.
 [4] K. Holinde, *Phys. Rep.*, **C68**(1981), 121.
 [5] J. D. Walecka, *Ann. of Phys.*, **83**(1974), 491.
 [6] J. Boguta, *Nucl. Phys.*, **A372**(1981), 386.
 [7] A. Bouyssy, S. Marccos and Phan Van Thieu, *Nucl. Phys.*, **A422**(1984), 541.
 [8] B. C. Clark, *Developments of the Dirac Scattering Approach, Invited talk presented at the Los Alamos Workshop on Relativistic Dynamic and Quark-Nuclear Physics*, June2-June12, 1985.
 [9] A. M. Kobos, *Nucl. Phys.*, **A445**(1985), 605.
 [10] H. O. Meyer et al., *Phys. Rev.*, **C24**(1981), 1782.
 [11] C. J. Horowitz, *Nucl. Phys.*, **A412**(1984), 255. *Nucl. Phys.*, **A368**(1981), 503.
 [12] B. W. Ridley and J. F. Turner, *Nucl. Phys.*, **58**(1964), 497.
 [13] L. N. Blumberg, E. E. Gross, A. van der Woude, A. Zucker and R. H. Bassel, *Phys. Rev.*, **147**(1966), 812.
 [14] A. Johansson et al., *Arkiv For Fysik*, **19**(1961), 541.
 [15] Z. Y. Ma, P. Zhu, Y. Q. Gu and Y. Z. Zhuo, *Contribution To 'Physics at Tanden' Beijing International Symposium*, May26-May30, 1986.

SELF-CONSISTENT CALCULATION OF RELATIVISTIC MICROSCOPIC OPTICAL POTENTIAL

ZHU PING MA ZHONGYU GU YINGQI ZHUO YIZHONG

(Institute of Atomic Energy, Academia Sinica, Beijing)

ABSTRACT

The real relativistic microscopic optical potentials for ^{16}O and ^{40}Ca have been calculated self-consistently in the framework of the Walecka model and the non-linear σ model. To compare with nonrelativistic optical potentials, the Schrödinger equivalent potentials are obtained. The differential cross sections and polarizations for the nucleon-nucleus elastic scatterings also have been calculated. It is found that the optical potentials obtained in the framework of the non-linear σ model are better than that in the Walecka model.